

# Laserová technika

Aproximace rychlostních rovnic

Dynamika laseru s krátkým rezonátorem. Práh laseru

Jan Šulc

Katedra fyzikální elektroniky  
České vysoké učení technické v Praze  
[jan.sulc@fjfi.cvut.cz](mailto:jan.sulc@fjfi.cvut.cz)

22. dubna 2022

Záření elektromagnetická vlna, popisují MR klasicky

# Interakce rezonančního záření s prostředím poloklasicky

Záření elektromagnetická vlna, popisují MR klasicky

Prostředí soubor dvouhlinových kvantových soustav,  $\omega_{21} = (E_2 - E_1)/\hbar$

# Interakce rezonančního záření s prostředím poloklasicky

Záření elektromagnetická vlna, popisují MR klasicky

Prostředí soubor dvouhlinových kvantových soustav,  $\omega_{21} = (E_2 - E_1)/\hbar$

Interakce záření s hmotou prostřednictvím polarizace prostředí

# Interakce rezonančního záření s prostředím poloklasicky

Záření elektromagnetická vlna, popisují MR klasicky

Prostředí soubor dvouhlinových **kvantových** soustav,  $\omega_{21} = (E_2 - E_1)/\hbar$

Interakce záření s hmotou prostřednictvím polarizace prostředí

Odezva prostředí 3 vektorové parciální nelineární diferenciální rovnice 2. řádu pro  $\vec{E}$ ,  $\vec{P}$  a  $N$ .

# Interakce rezonančního záření s prostředím poloklasicky

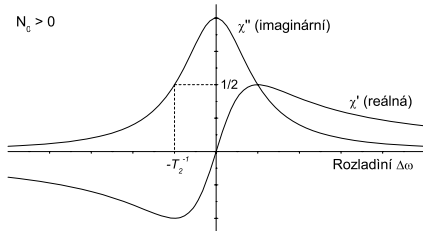
Záření elektromagnetická vlna, popisují MR klasicky

Prostředí soubor dvouhlinových **kvantových** soustav,  $\omega_{21} = (E_2 - E_1)/\hbar$

Interakce záření s **hmotou** prostřednictvím polarizace prostředí

Odezva prostředí 3 vektorové parciální nelineární diferenciální rovnice 2. řádu pro  $\vec{E}$ ,  $\vec{P}$  a  $N$ .

Rezonanční prostředí je disperzní susceptibilita je funkcí frekvence



# Interakce rezonančního záření s prostředím poloklasicky

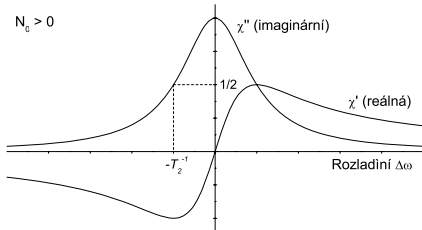
Záření elektromagnetická vlna, popisují MR klasicky

Prostředí soubor dvouhlinových **kvantových** soustav,  $\omega_{21} = (E_2 - E_1)/\hbar$

Interakce záření s **hmotou** prostřednictvím polarizace prostředí

Odezva prostředí 3 vektorové parciální nelineární diferenciální rovnice 2. řádu pro  $\vec{E}$ ,  $\vec{P}$  a  $N$ .

Rezonanční prostředí je disperzní susceptibilita je funkcí frekvence



Rezonanční prostředí je nelineární v blízkosti rezonanční frekvence může v závislosti na obsazení hladin docházet k pohlcení nebo zesílení záření (susceptibilita je komplexní)

# Interakce rezonančního záření s prostředím poloklasicky

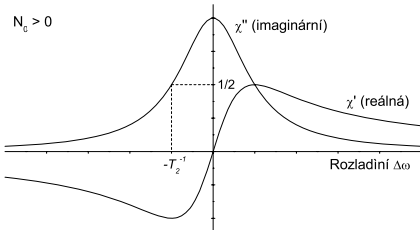
Záření elektromagnetická vlna, popisují MR klasicky

Prostředí soubor dvouhlinových **kvantových** soustav,  $\omega_{21} = (E_2 - E_1)/\hbar$

Interakce záření s **hmotou** prostřednictvím polarizace prostředí

Odezva prostředí 3 vektorové parciální nelineární diferenciální rovnice 2. řádu pro  $\vec{E}$ ,  $\vec{P}$  a  $N$ .

Rezonanční prostředí je disperzní susceptibilita je funkcí frekvence



Rezonanční prostředí je nelineární v blízkosti rezonanční frekvence může v závislosti na obsazení hladin docházet k pohlcení nebo zesílení záření (susceptibilita je komplexní)

Signál pomalu proměnný impulz s harmonickou nosnou frekvencí  $\omega \gg T_{\text{imp}}^{-1}$  v rezonanci ( $\omega = \omega_{21}$ ) a bez fázové modulace → tři rovnice pro obálku

## Šíření impulsů (signálů s pomalu proměnnou amplitudou)

$$\frac{\partial \mathcal{E}}{\partial z'} = -\frac{\mu_0 \omega_{21} c}{2} \mathcal{P}_2$$

$$\frac{\partial \mathcal{P}_2}{\partial t'} = -\frac{\mathcal{P}_2}{T_2} - \frac{|d_{21}|^2}{\hbar} \mathcal{E} N$$

$$\frac{\partial N}{\partial t'} = -\frac{N - N_0}{T_1} + \frac{1}{\hbar} \mathcal{E} \mathcal{P}_2$$

- ▶ Charakter šíření určuje délka obálky impulzu  $T_{imp}$  v porovnání s relaxačními časy  $T_1$  a  $T_2$

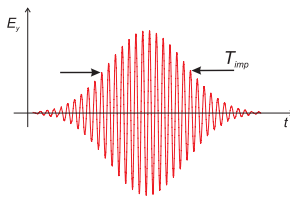
## Šíření impulsů (signálů s pomalu proměnnou amplitudou)

$$\frac{\partial \mathcal{E}}{\partial z'} = -\frac{\mu_0 \omega_{21} c}{2} \mathcal{P}_2$$

$$\frac{\partial \mathcal{P}_2}{\partial t'} = -\frac{\mathcal{P}_2}{T_2} - \frac{|d_{21}|^2}{\hbar} \mathcal{E} N$$

$$\frac{\partial N}{\partial t'} = -\frac{N - N_0}{T_1} + \frac{1}{\hbar} \mathcal{E} \mathcal{P}_2$$

- ▶ Charakter šíření určuje délka obálky impulzu  $T_{imp}$  v porovnání s relaxačními časy  $T_1$  a  $T_2$



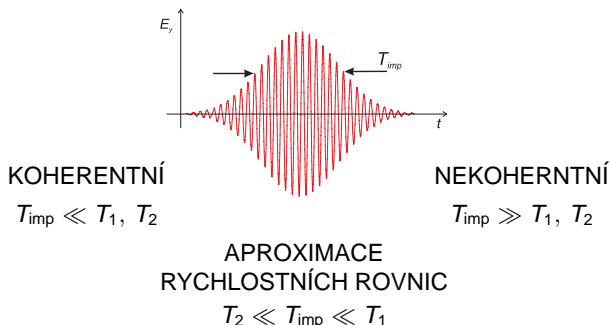
# Šíření impulsů (signálů s pomalu proměnnou amplitudou)

$$\frac{\partial \mathcal{E}}{\partial z'} = -\frac{\mu_0 \omega_{21} c}{2} \mathcal{P}_2$$

$$\frac{\partial \mathcal{P}_2}{\partial t'} = -\frac{\mathcal{P}_2}{T_2} - \frac{|d_{21}|^2}{\hbar} \mathcal{E} N$$

$$\frac{\partial N}{\partial t'} = -\frac{N - N_0}{T_1} + \frac{1}{\hbar} \mathcal{E} \mathcal{P}_2$$

- Charakter šíření určuje délka obálky impulzu  $T_{imp}$  v porovnání s relaxačními časy  $T_1$  a  $T_2$



# Aproximace rychlostních rovnic $T_2 \ll T_{\text{imp}} \ll T_1$

- ▶ Částečná adiabatická eliminace

## Aproximace rychlostních rovnic $T_2 \ll T_{\text{imp}} \ll T_1$

- ▶ Částečná adiabatická eliminace
- ▶ Polarizace spojená s časem  $T_2$  relaxuje rychle – kvazistacionární stav

## Aproximace rychlostních rovnic $T_2 \ll T_{\text{imp}} \ll T_1$

- ▶ Částečná adiabatická eliminace
- ▶ Polarizace spojená s časem  $T_2$  relaxuje rychle – kvazistacionární stav
- ▶ Vyloučíme polarizaci  $\Rightarrow$  rychlostní rovnice

$$\frac{\partial N(z, t)}{\partial t} = \underbrace{\frac{N_0}{T_1}}_{\text{buzení}} - \underbrace{\frac{N(z, t)}{T_1}}_{\text{fluorescence}} - \frac{2}{\hbar\omega_{21}} \underbrace{\sigma I(z, t)N(z, t)}_{\text{stimul. emise/absorbce}}$$

$$\frac{\partial I(z, t)}{\partial z'} = \sigma N(z, t)I(z, t)$$

## Aproximace rychlostních rovnic $T_2 \ll T_{\text{imp}} \ll T_1$

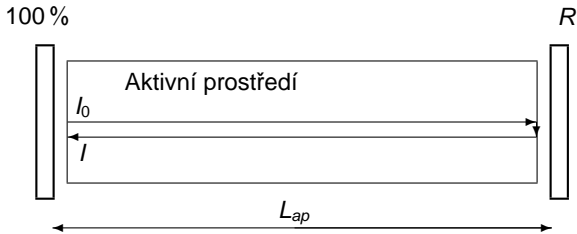
- ▶ Částečná adiabatická eliminace
- ▶ Polarizace spojená s časem  $T_2$  relaxuje rychle – kvazistacionární stav
- ▶ Vyloučíme polarizaci  $\Rightarrow$  rychlostní rovnice

$$\frac{\partial N(z, t)}{\partial t} = \underbrace{\frac{N_0}{T_1}}_{\text{buzení}} - \underbrace{\frac{N(z, t)}{T_1}}_{\text{fluorescence}} - \frac{2}{\hbar\omega_{21}} \underbrace{\sigma I(z, t)N(z, t)}_{\text{stimul. emise/absorbce}}$$

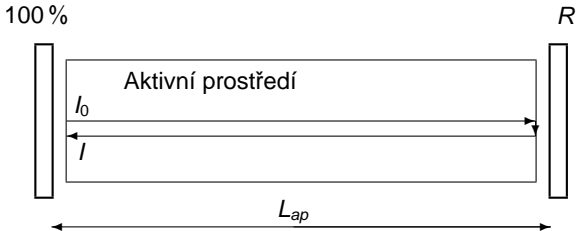
$$\frac{\partial I(z, t)}{\partial z'} = \sigma N(z, t)I(z, t)$$

- ▶ Zákon zachování energie – fotony vs inverze populace hladin

# Laser s krátkým rezonátorem

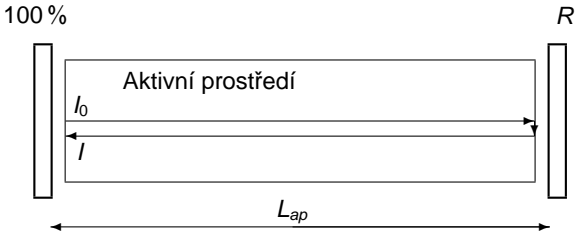


# Laser s krátkým rezonátorem



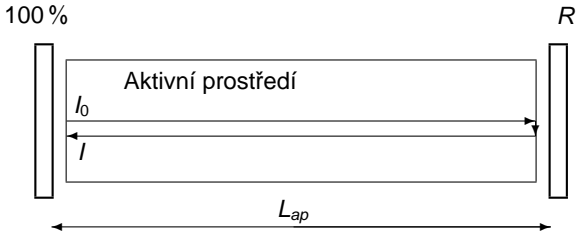
- ▶ Nechť je jeden oběh fotonu rezonátorem, doba  $t_R$  je mnohem kratší, než charakteristické časy spojené s generací laserového záření

# Laser s krátkým rezonátorem



- ▶ Nechť je jeden oběh fotonu rezonátorem, doba  $t_R$  je mnohem kratší, než charakteristické časy spojené s generací laserového záření
- ▶ Inverze populace hladin nechť je nezávislá na souřadnici a za dobu  $t_R$  se příliš nezmění  $\Rightarrow$  zisk  $g = \sigma N \approx$  konstanta po dobu  $t_R$

# Laser s krátkým rezonátorem



- ▶ Nechť je jeden oběh fotonu rezonátorem, doba  $t_R$  je mnohem kratší, než charakteristické časy spojené s generací laserového záření
- ▶ Inverze populace hladin nechť je nezávislá na souřadnici a za dobu  $t_R$  se příliš nezmění  $\Rightarrow$  zisk  $g = \sigma N \approx$  konstanta po dobu  $t_R$

$$\frac{\partial I(z, t)}{\partial z'} = \sigma N I(z, t) \quad \Rightarrow \quad I_{t_R} = I_0 \exp[2gL_{ap}]$$

# Laser s krátkým rezonátorem – rovnice pro fotony

- ▶ Při započtení ztrát odrazem od zrcadla s reflexivitou  $R$ :

$$I_{t_R} = I_0 R \exp[2gL_{ap}] = I_0 \exp[2gL_{ap} + \ln R]$$

# Laser s krátkým rezonátorem – rovnice pro fotony

- ▶ Při započtení ztrát odrazem od zrcadla s reflexivitou  $R$ :

$$I_{t_R} = I_0 R \exp[2gL_{ap}] = I_0 \exp[2gL_{ap} + \ln R]$$

- ▶ Změna intenzity na jeden průchod bude:

$$\frac{\Delta I}{\Delta t} = \frac{I_{t_R} - I_0}{t_R} = \frac{1}{t_R} (I_0 \exp[2gL_{ap} + \ln R] - I_0) = \frac{I_0}{t_R} (\exp[2gL_{ap} + \ln R] - 1)$$

# Laser s krátkým rezonátorem – rovnice pro fotony

- ▶ Při započtení ztrát odrazem od zrcadla s reflexivitou  $R$ :

$$I_{t_R} = I_0 R \exp[2gL_{ap}] = I_0 \exp[2gL_{ap} + \ln R]$$

- ▶ Změna intenzity na jeden průchod bude:

$$\frac{\Delta I}{\Delta t} = \frac{I_{t_R} - I_0}{t_R} = \frac{1}{t_R} (I_0 \exp[2gL_{ap} + \ln R] - I_0) = \frac{I_0}{t_R} (\exp[2gL_{ap} + \ln R] - 1)$$

- ▶ V okolí prahu je exponent blízko nuly a na exponencielu lze použít Taylorův rozvoj:

$$\frac{\Delta I}{\Delta t} \doteq \frac{I_0}{t_R} (1 + 2gL_{ap} + \ln R - 1) = \frac{I_0}{t_R} (2gL_{ap} + \ln R)$$

# Laser s krátkým rezonátorem – rovnice pro fotony

- ▶ Při započtení ztrát odrazem od zrcadla s reflexivitou  $R$ :

$$I_{t_R} = I_0 R \exp[2gL_{ap}] = I_0 \exp[2gL_{ap} + \ln R]$$

- ▶ Změna intenzity na jeden průchod bude:

$$\frac{\Delta I}{\Delta t} = \frac{I_{t_R} - I_0}{t_R} = \frac{1}{t_R} (I_0 \exp[2gL_{ap} + \ln R] - I_0) = \frac{I_0}{t_R} (\exp[2gL_{ap} + \ln R] - 1)$$

- ▶ V okolí prahu je exponent blízko nuly a na exponencielu lze použít Taylorův rozvoj:

$$\frac{\Delta I}{\Delta t} \doteq \frac{I_0}{t_R} (1 + 2gL_{ap} + \ln R - 1) = \frac{I_0}{t_R} (2gL_{ap} + \ln R)$$

- ▶ 2. věta o střední hodnotě

$$\frac{dl}{dt} = \frac{I}{t_R} (2gL_{ap} + \ln R) = c\sigma_{21}IN - \frac{I}{t_R} \ln \frac{1}{R}$$

# Laser s krátkým rezonátorem – rovnice pro fotony

- ▶ Máme rovnici pro fotony

$$\frac{dI}{dt} = c\sigma_{21}IN - \frac{I}{t_R} \ln \frac{1}{R}$$

- ▶ Máme rovnici pro fotony

$$\frac{dI}{dt} = c\sigma_{21}IN - \frac{I}{t_R} \ln \frac{1}{R}$$

- ▶ Ještě si vzpomeneme na definici doby života fotonu v rezonátoru

$$\tau_c = \frac{t_R}{-\ln R}$$

# Laser s krátkým rezonátorem – rovnice pro fotony

- ▶ Máme rovnici pro fotony

$$\frac{dI}{dt} = c\sigma_{21}IN - \frac{I}{t_R} \ln \frac{1}{R}$$

- ▶ Ještě si vzpomeneme na definici doby života fotonu v rezonátoru

$$\tau_c = \frac{t_R}{-\ln R}$$

- ▶ ... a máme:

$$\frac{dI}{dt} = c\sigma_{21}IN - \frac{I}{\tau_c}$$

- ▶ Máme rovnici pro fotony

$$\frac{dI}{dt} = c\sigma_{21}IN - \frac{I}{t_R} \ln \frac{1}{R}$$

- ▶ Ještě si vzpomeneme na definici doby života fotonu v rezonátoru

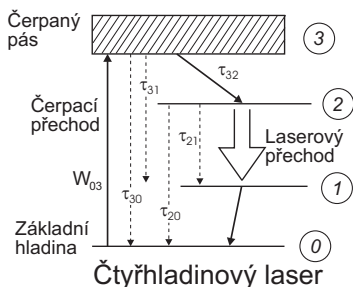
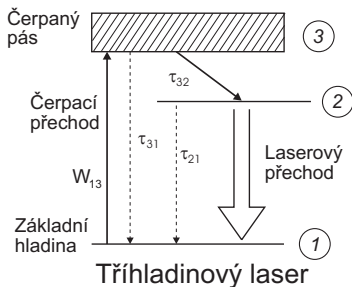
$$\tau_c = \frac{t_R}{-\ln R}$$

- ▶ ... a máme:

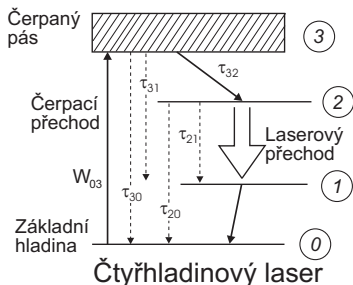
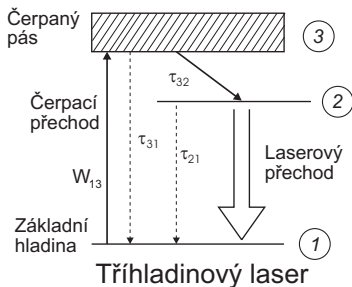
$$\frac{dI}{dt} = c\sigma_{21}IN - \frac{I}{\tau_c}$$

- ▶ Jde to i jinak...

► Schéma optického čerpání pevnolátkových laserů



- Schéma optického čerpání pevnolátkových laserů



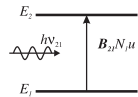
- Pro činnost laseru mají zásadní význam dvě hladiny: excitovaná horní úroveň a spodní laserová úroveň.

- ▶ Einsteinovy součinitele (koeficienty) **A**, **B** – pravděpodobnost procesu

# Elementární procesy absorpce a emise fotonu

- ▶ Einsteinovy součinitele (koeficienty) **A**, **B** – pravděpodobnost procesu
- ▶ **Absorpce** fotonu kvantovou soustavou

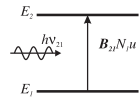
$$\left( \frac{dN_m}{dt} \right)_{\text{abs } m \rightarrow n} = - \left( \frac{dN_n}{dt} \right)_{\text{abs } m \rightarrow n} = -B_{mn} N_m u$$



# Elementární procesy absorpce a emise fotonu

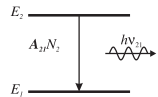
- ▶ Einsteinovy součinitele (koeficienty) **A**, **B** – pravděpodobnost procesu
- ▶ **Absorpce** fotonu kvantovou soustavou

$$\left( \frac{dN_m}{dt} \right)_{\text{abs } m \rightarrow n} = - \left( \frac{dN_n}{dt} \right)_{\text{abs } m \rightarrow n} = -B_{mn} N_m u$$



- ▶ **Spontánní emise** fotonu kvantovou soustavou

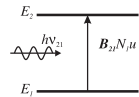
$$\left( \frac{dN_n}{dt} \right)_{\text{spont } n \rightarrow m} = - \left( \frac{dN_m}{dt} \right)_{\text{spont } n \rightarrow m} = -A_{nm} N_n$$



# Elementární procesy absorpce a emise fotonu

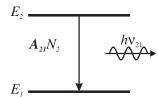
- ▶ Einsteinovy součinitele (koeficienty) **A, B** – pravděpodobnost procesu
- ▶ **Absorpce** fotonu kvantovou soustavou

$$\left( \frac{dN_m}{dt} \right)_{\text{abs } m \rightarrow n} = - \left( \frac{dN_n}{dt} \right)_{\text{abs } m \rightarrow n} = -B_{mn} N_m u$$



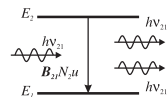
- ▶ **Spontánní emise** fotonu kvantovou soustavou

$$\left( \frac{dN_n}{dt} \right)_{\text{spont } n \rightarrow m} = - \left( \frac{dN_m}{dt} \right)_{\text{spont } n \rightarrow m} = -A_{nm} N_n$$



- ▶ **Stimulovaná emise** fotonu kvantovou soustavou

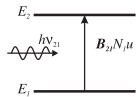
$$\left( \frac{dN_n}{dt} \right)_{\text{stim. em. } n \rightarrow m} = - \left( \frac{dN_m}{dt} \right)_{\text{stim. em. } n \rightarrow m} = -B_{nm} N_n u$$



# Elementární procesy absorpce a emise fotonu

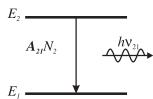
- ▶ Einsteinovy součinitele (koeficienty) **A, B** – pravděpodobnost procesu
- ▶ **Absorpce** fotonu kvantovou soustavou

$$\left( \frac{dN_m}{dt} \right)_{\text{abs } m \rightarrow n} = - \left( \frac{dN_n}{dt} \right)_{\text{abs } m \rightarrow n} = -B_{mn} N_m u$$



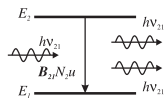
- ▶ **Spontánní emise** fotonu kvantovou soustavou

$$\left( \frac{dN_n}{dt} \right)_{\text{spont } n \rightarrow m} = - \left( \frac{dN_m}{dt} \right)_{\text{spont } n \rightarrow m} = -A_{nm} N_n$$



- ▶ **Stimulovaná emise** fotonu kvantovou soustavou

$$\left( \frac{dN_n}{dt} \right)_{\text{stim. em. } n \rightarrow m} = - \left( \frac{dN_m}{dt} \right)_{\text{stim. em. } n \rightarrow m} = -B_{nm} N_n u$$

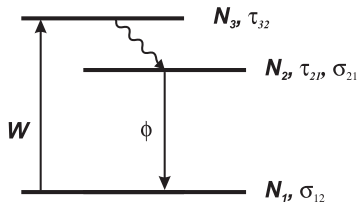


- ▶ Rychlosť přechodu (změna populace hladiny za jednotku času)

$$\frac{dN}{dt} = BuN = \sigma \frac{I}{h\nu} N = \sigma c \phi N = \sigma F N$$

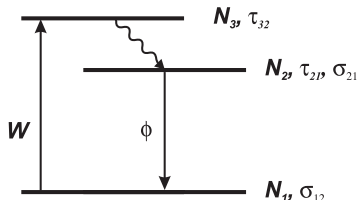
$u$  – hustota energie [ $\text{J/m}^3$ ],  $I$  – intenzita záření [ $\text{W/m}^2$ ],  $\phi$  – hustota fotonů [ $\text{m}^{-3}$ ],  
 $F$  – fotonový tok [ $1/\text{sm}^2$ ]

# Rychlostní rovnice pro 3-hladinový systém



$$\frac{\partial N_3}{\partial t} = W - \frac{N_3}{\tau_{32}}$$
$$\frac{\partial N_2}{\partial t} = \frac{N_3}{\tau_{32}} - \frac{N_2}{\tau_{21}} - \sigma_{21} c \phi N_2 + \sigma_{12} c \phi N_1$$
$$\frac{\partial N_1}{\partial t} = -W + \frac{N_2}{\tau_{21}} + \sigma_{21} c \phi N_2 - \sigma_{12} c \phi N_1$$

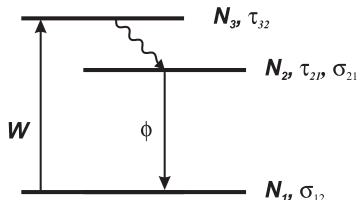
# Rychlostní rovnice pro 3-hladinový systém



$$\begin{aligned}\frac{\partial N_3}{\partial t} &= W - \frac{N_3}{\tau_{32}} \\ \frac{\partial N_2}{\partial t} &= \frac{N_3}{\tau_{32}} - \frac{N_2}{\tau_{21}} - \sigma_{21} c \phi N_2 + \sigma_{12} c \phi N_1 \\ \frac{\partial N_1}{\partial t} &= -W + \frac{N_2}{\tau_{21}} + \sigma_{21} c \phi N_2 - \sigma_{12} c \phi N_1\end{aligned}$$

- ▶ Rychlá relaxace hladiny 3  $\Rightarrow N_3 \leq N_1, N_2, \frac{N_3}{\tau_{32}} = W$

# Rychlostní rovnice pro 3-hladinový systém

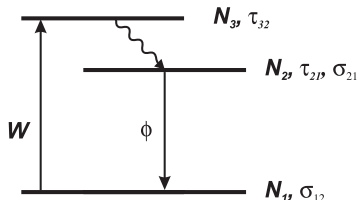


$$\begin{aligned}\frac{\partial N_3}{\partial t} &= W - \frac{N_3}{\tau_{32}} \\ \frac{\partial N_2}{\partial t} &= \frac{N_3}{\tau_{32}} - \frac{N_2}{\tau_{21}} - \sigma_{21} c \phi N_2 + \sigma_{12} c \phi N_1 \\ \frac{\partial N_1}{\partial t} &= -W + \frac{N_2}{\tau_{21}} + \sigma_{21} c \phi N_2 - \sigma_{12} c \phi N_1\end{aligned}$$

- ▶ Rychlá relaxace hladiny 3  $\Rightarrow N_3 \leq N_1, N_2, \frac{N_3}{\tau_{32}} = W$
- ▶ Inverze populace hladin  $N = N_2 - \frac{\sigma_{12}}{\sigma_{21}} N_1 = N_2 - \frac{g_2}{g_1} N_1$

$$\frac{\partial N}{\partial t} = \frac{\partial N_2}{\partial t} - \frac{g_2}{g_1} \frac{\partial N_1}{\partial t} = W \left( 1 + \frac{g_2}{g_1} \right) - \frac{N_2}{\tau_{21}} \left( 1 + \frac{g_2}{g_1} \right) - \left( 1 + \frac{g_2}{g_1} \right) \sigma_{21} c \phi \left( N_2 - \frac{g_2}{g_1} N_1 \right)$$

# Rychlostní rovnice pro 3-hladinový systém



$$\begin{aligned}\frac{\partial N_3}{\partial t} &= W - \frac{N_3}{\tau_{32}} \\ \frac{\partial N_2}{\partial t} &= \frac{N_3}{\tau_{32}} - \frac{N_2}{\tau_{21}} - \sigma_{21} c \phi N_2 + \sigma_{12} c \phi N_1 \\ \frac{\partial N_1}{\partial t} &= -W + \frac{N_2}{\tau_{21}} + \sigma_{21} c \phi N_2 - \sigma_{12} c \phi N_1\end{aligned}$$

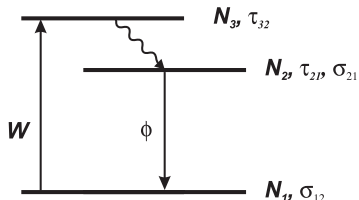
- ▶ Rychlá relaxace hladiny 3  $\Rightarrow N_3 \leq N_1, N_2, \frac{N_3}{\tau_{32}} = W$
- ▶ Inverze populace hladin  $N = N_2 - \frac{\sigma_{12}}{\sigma_{21}} N_1 = N_2 - \frac{g_2}{g_1} N_1$

$$\frac{\partial N}{\partial t} = \frac{\partial N_2}{\partial t} - \frac{g_2}{g_1} \frac{\partial N_1}{\partial t} = W \left( 1 + \frac{g_2}{g_1} \right) - \frac{N_2}{\tau_{21}} \left( 1 + \frac{g_2}{g_1} \right) - \left( 1 + \frac{g_2}{g_1} \right) \sigma_{21} c \phi \left( N_2 - \frac{g_2}{g_1} N_1 \right)$$

- ▶ Celkový počet částic  $N_{tot} = N_1 + N_2$

$$N_1 = \frac{N_{tot} - N}{1 + g_2/g_1}, \quad N_2 = \frac{N_{tot} g_2/g_1 + N}{1 + g_2/g_1}$$

# Rychlostní rovnice pro 3-hladinový systém



$$\begin{aligned}\frac{\partial N_3}{\partial t} &= W - \frac{N_3}{\tau_{32}} \\ \frac{\partial N_2}{\partial t} &= \frac{N_3}{\tau_{32}} - \frac{N_2}{\tau_{21}} - \sigma_{21}c\phi N_2 + \sigma_{12}c\phi N_1 \\ \frac{\partial N_1}{\partial t} &= -W + \frac{N_2}{\tau_{21}} + \sigma_{21}c\phi N_2 - \sigma_{12}c\phi N_1\end{aligned}$$

- ▶ Rychlá relaxace hladiny 3  $\Rightarrow N_3 \leq N_1, N_2, \frac{N_3}{\tau_{32}} = W$
- ▶ Inverze populace hladin  $N = N_2 - \frac{\sigma_{12}}{\sigma_{21}} N_1 = N_2 - \frac{g_2}{g_1} N_1$

$$\frac{\partial N}{\partial t} = \frac{\partial N_2}{\partial t} - \frac{g_2}{g_1} \frac{\partial N_1}{\partial t} = W \left( 1 + \frac{g_2}{g_1} \right) - \frac{N_2}{\tau_{21}} \left( 1 + \frac{g_2}{g_1} \right) - \left( 1 + \frac{g_2}{g_1} \right) \sigma_{21} c \phi \left( N_2 - \frac{g_2}{g_1} N_1 \right)$$

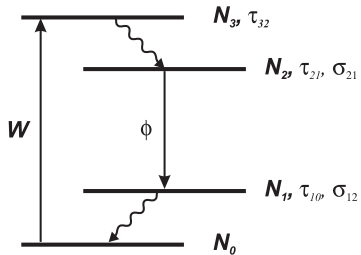
- ▶ Celkový počet částic  $N_{tot} = N_1 + N_2$

$$N_1 = \frac{N_{tot} - N}{1 + g_2/g_1}, \quad N_2 = \frac{N_{tot} g_2/g_1 + N}{1 + g_2/g_1}$$

- ▶ Zavedeme  $\kappa = 1 + g_2/g_1$  (pro  $g_1 = g_2 \Rightarrow \kappa = 2$ ). Dostaneme:

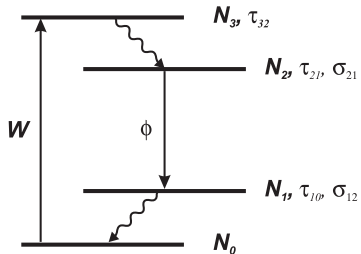
$$\frac{\partial N}{\partial t} = \kappa W - \underbrace{\frac{N_{tot}}{\tau_{21}} (\kappa - 1)}_{W'} - \frac{N}{\tau_{21}} - \kappa \sigma_{21} c \phi N$$

# Rychlostní rovnice pro 4-hladinový systém



$$\begin{aligned}\frac{\partial N_3}{\partial t} &= W - \frac{N_3}{\tau_{32}} \\ \frac{\partial N_2}{\partial t} &= \frac{N_3}{\tau_{32}} - \frac{N_2}{\tau_{21}} - \sigma_{21}c\phi N_2 + \sigma_{12}c\phi N_1 \\ \frac{\partial N_1}{\partial t} &= -\frac{N_1}{\tau_{10}} + \frac{N_2}{\tau_{21}} + \sigma_{21}c\phi N_2 - \sigma_{12}c\phi N_1 \\ \frac{\partial N_0}{\partial t} &= -W + \frac{N_1}{\tau_{10}}\end{aligned}$$

# Rychlostní rovnice pro 4-hladinový systém

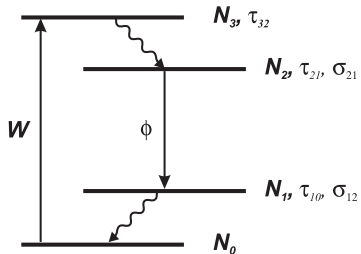


$$\begin{aligned}\frac{\partial N_3}{\partial t} &= W - \frac{N_3}{\tau_{32}} \\ \frac{\partial N_2}{\partial t} &= \frac{N_3}{\tau_{32}} - \frac{N_2}{\tau_{21}} - \sigma_{21} c \phi N_2 + \sigma_{12} c \phi N_1 \\ \frac{\partial N_1}{\partial t} &= -\frac{N_1}{\tau_{10}} + \frac{N_2}{\tau_{21}} + \sigma_{21} c \phi N_2 - \sigma_{12} c \phi N_1 \\ \frac{\partial N_0}{\partial t} &= -W + \frac{N_1}{\tau_{10}}\end{aligned}$$

- ▶ Rychlá relaxace hladiny 1 a 3  $\Rightarrow N_1, N_3 \leq N_0, N_2$

$$\frac{N_3}{\tau_{32}} = W, \quad \frac{N_1}{\tau_{10}} = \frac{N_2}{\tau_{21}} + \sigma_{21} c \phi N_2 - \sigma_{12} c \phi N_1$$

# Rychlostní rovnice pro 4-hladinový systém



$$\begin{aligned}\frac{\partial N_3}{\partial t} &= W - \frac{N_3}{\tau_{32}} \\ \frac{\partial N_2}{\partial t} &= \frac{N_3}{\tau_{32}} - \frac{N_2}{\tau_{21}} - \sigma_{21}c\phi N_2 + \sigma_{12}c\phi N_1 \\ \frac{\partial N_1}{\partial t} &= -\frac{N_1}{\tau_{10}} + \frac{N_2}{\tau_{21}} + \sigma_{21}c\phi N_2 - \sigma_{12}c\phi N_1 \\ \frac{\partial N_0}{\partial t} &= -W + \frac{N_1}{\tau_{10}}\end{aligned}$$

- ▶ Rychlá relaxace hladiny 1 a 3  $\Rightarrow N_1, N_3 \leq N_0, N_2$

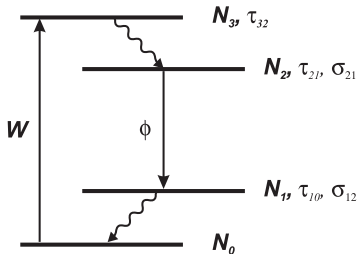
$$\frac{N_3}{\tau_{32}} = W, \quad \frac{N_1}{\tau_{10}} = \frac{N_2}{\tau_{21}} + \sigma_{21}c\phi N_2 - \sigma_{12}c\phi N_1$$

- ▶ Inverze populace hladin  $N \doteq N_2$ , celkový počet částic  $N_{tot} = N_0 + N_2 = N_0 + N$

$$\frac{\partial N}{\partial t} = W - \frac{N}{\tau_{21}} - \sigma_{21}c\phi N$$

$$\frac{\partial N_0}{\partial t} = -\frac{\partial N}{\partial t} = -W + \frac{N}{\tau_{21}} + \sigma_{21}c\phi N$$

# Rychlostní rovnice pro 4-hladinový systém



$$\begin{aligned}\frac{\partial N_3}{\partial t} &= W - \frac{N_3}{\tau_{32}} \\ \frac{\partial N_2}{\partial t} &= \frac{N_3}{\tau_{32}} - \frac{N_2}{\tau_{21}} - \sigma_{21} c \phi N_2 + \sigma_{12} c \phi N_1 \\ \frac{\partial N_1}{\partial t} &= -\frac{N_1}{\tau_{10}} + \frac{N_2}{\tau_{21}} + \sigma_{21} c \phi N_2 - \sigma_{12} c \phi N_1 \\ \frac{\partial N_0}{\partial t} &= -W + \frac{N_1}{\tau_{10}}\end{aligned}$$

- ▶ Rychlá relaxace hladiny 1 a 3  $\Rightarrow N_1, N_3 \leq N_0, N_2$

$$\frac{N_3}{\tau_{32}} = W, \quad \frac{N_1}{\tau_{10}} = \frac{N_2}{\tau_{21}} + \sigma_{21} c \phi N_2 - \sigma_{12} c \phi N_1$$

- ▶ Inverze populace hladin  $N \doteq N_2$ , celkový počet částic  $N_{tot} = N_0 + N_2 = N_0 + N$

$$\begin{aligned}\frac{\partial N}{\partial t} &= W - \frac{N}{\tau_{21}} - \sigma_{21} c \phi N \\ \frac{\partial N_0}{\partial t} &= -\frac{\partial N}{\partial t} = -W + \frac{N}{\tau_{21}} + \sigma_{21} c \phi N\end{aligned}$$

- ▶ Pro 4-hladinový systém položíme  $\kappa = 1$ :

$$\frac{\partial N}{\partial t} = W - \frac{N}{\tau_{21}} - \kappa \sigma_{21} c \phi N$$

# Rovnice pro fotony v rezonátoru

- ▶ Uvažujeme rezonátor zcela zaplněný aktivním prostředím

# Rovnice pro fotony v rezonátoru

- ▶ Uvažujeme rezonátor zcela zaplněný aktivním prostředím
- ▶ Změna počtu (hustoty) fotonů v rezonátoru způsobená absorpcí a stimulovanou emisí odpovídá (až na znaménko) změně populace (hustoty populace) hladiny  $N_2$

$$\left( \frac{d\phi}{dt} \right)_{\text{abs., stim. e.}} = \sigma_{21} c \phi N_2 - \sigma_{12} c \phi N_1 = \sigma_{21} c \phi N$$

# Rovnice pro fotony v rezonátoru

- ▶ Uvažujeme rezonátor zcela zaplněný aktivním prostředím
- ▶ Změna počtu (hustoty) fotonů v rezonátoru způsobená absorpcí a stimulovanou emisí odpovídá (až na znaménko) změně populace (hustoty populace) hladiny  $N_2$

$$\left( \frac{d\phi}{dt} \right)_{\text{abs., stim. e.}} = \sigma_{21} c \phi N_2 - \sigma_{12} c \phi N_1 = \sigma_{21} c \phi N$$

- ▶ Částečně může přispívat k fotonům v rezonátoru i spontánní emise ( $k \sim 0$ )

$$\left( \frac{d\phi}{dt} \right)_{\text{spont. e.}} = k \frac{N_2}{\tau_{21}}$$

# Rovnice pro fotony v rezonátoru

- ▶ Uvažujeme rezonátor zcela zaplněný aktivním prostředím
- ▶ Změna počtu (hustoty) fotonů v rezonátoru způsobená absorpcí a stimulovanou emisí odpovídá (až na znaménko) změně populace (hustoty populace) hladiny  $N_2$

$$\left( \frac{d\phi}{dt} \right)_{\text{abs., stim. e.}} = \sigma_{21} c \phi N_2 - \sigma_{12} c \phi N_1 = \sigma_{21} c \phi N$$

- ▶ Částečně může přispívat k fotonům v rezonátoru i spontánní emise ( $k \sim 0$ )

$$\left( \frac{d\phi}{dt} \right)_{\text{spont. e.}} = k \frac{N_2}{\tau_{21}}$$

- ▶ Část fotonů unikne – doba života fotonů v rezonátoru  $\tau_c$  je konečná (fotony unikají výstupním zrcadlem, v důsledku ztrát)

$$\left( \frac{d\phi}{dt} \right)_{\text{rezonátor}} = - \frac{\phi}{\tau_c}$$

# Rovnice pro fotony v rezonátoru

- ▶ Uvažujeme rezonátor zcela zaplněný aktivním prostředím
- ▶ Změna počtu (hustoty) fotonů v rezonátoru způsobená absorpcí a stimulovanou emisí odpovídá (až na znaménko) změně populace (hustoty populace) hladiny  $N_2$

$$\left( \frac{d\phi}{dt} \right)_{\text{abs., stim. e.}} = \sigma_{21} c \phi N_2 - \sigma_{12} c \phi N_1 = \sigma_{21} c \phi N$$

- ▶ Částečně může přispívat k fotonům v rezonátoru i spontánní emise ( $k \sim 0$ )

$$\left( \frac{d\phi}{dt} \right)_{\text{spont. e.}} = k \frac{N_2}{\tau_{21}}$$

- ▶ Část fotonů unikne – doba života fotonů v rezonátoru  $\tau_c$  je konečná (fotony unikají výstupním zrcadlem, v důsledku ztrát)

$$\left( \frac{d\phi}{dt} \right)_{\text{rezonátor}} = - \frac{\phi}{\tau_c}$$

- ▶ Dohromady dostaneme:

$$\frac{d\phi}{dt} = \sigma_{21} c \phi N - \frac{\phi}{\tau_c} + k \frac{N_2}{\tau_{21}}$$

# Rychlostní rovnice pro laser s krátkým rezonátorem

$$\frac{dN}{dt} = W - \frac{N}{\tau_{21}} - \frac{\kappa\sigma}{\hbar\omega} NI$$

$$\frac{dI}{dt} = \sigma\mu c NI - \frac{I}{\tau_c}$$

# Rychlostní rovnice pro laser s krátkým rezonátorem

$$\frac{dN}{dt} = W - \frac{N}{\tau_{21}} - \frac{\kappa\sigma}{\hbar\omega} NI$$

$$\frac{dI}{dt} = \sigma\mu c NI - \frac{I}{\tau_c}$$

$N$  hustota inverze populace hladin v aktivním prostředí

$I$  intenzita záření v rezonátoru

$W$  čerpací rychlosť (rychlosť excitacii horní laserové hladiny vlivem čerpánia)

$\sigma$  účinný průřez pro stimulovanou emisi

$\kappa$  faktor redukce inverze populace hladin

$\tau_{21}$  doba života kvantové soustavy na horní laserové hladině

$\tau_c$  doba života fotonu v rezonátoru

$\mu$  koeficient zaplnenia rezonátoru aktivným prostredím

$c$  rychlosť svetla v aktivním prostředí

$\omega$  úhlová frekvencia laserového záření

# Rychlostní rovnice pro laser s krátkým rezonátorem

$$\kappa = \begin{cases} 1 + \frac{g_2}{g_1}, & 3 - \text{hlinový systém, } g_i \text{ je degenerace i - té hliny} \\ 1, & 4 - \text{hlinový systém} \end{cases}$$

$$\mu = \frac{\text{optická délka aktivního prostředí}}{\text{optická délka rezonátoru}} = \frac{L_{ap} n_{ap}}{L_r + L_{ap}(n_{ap} - 1)}$$

$$\tau_c = \frac{\tau_R}{L - \ln R}$$

- $L_r$  a  $L_{ap}$  délka rezonátoru a aktivního prostředí  
 $n_{ap}$  index lomu aktivního prostředí  
 $\tau_R$  doba oběhu rezonátoru  
 $R$  reflexivita výstupního zrcadla rezonátoru  
 $L$  další ztráty rezonátoru (absorpce optických prvků, difrakční ztráty, . . .)

- ▶ V rovnici pro inverzi

$$\frac{dN}{dt} = W - \frac{N}{\tau_{21}} - \frac{\kappa\sigma}{\hbar\omega} NI$$

- ▶ V rovnici pro inverzi

$$\frac{dN}{dt} = W - \frac{N}{\tau_{21}} - \frac{\kappa\sigma}{\hbar\omega} NI$$

- ▶ využijeme obecný vztah pro saturační intenzitu záření v daném aktivním prostředí

$$I_s = \frac{\hbar\omega}{\kappa\sigma\tau_{21}}$$

- ▶ V rovnici pro inverzi

$$\frac{dN}{dt} = W - \frac{N}{\tau_{21}} - \frac{\kappa\sigma}{\hbar\omega} NI$$

- ▶ využijeme obecný vztah pro saturační intenzitu záření v daném aktivním prostředí

$$I_s = \frac{\hbar\omega}{\kappa\sigma\tau_{21}}$$

- ▶ ... dostaneme

$$\frac{dN}{dt} = W - \frac{N}{\tau_{21}} - \frac{I}{I_s} \frac{N}{\tau_{21}}$$

- ▶ V rovnici pro inverzi

$$\frac{dN}{dt} = W - \frac{N}{\tau_{21}} - \frac{\kappa\sigma}{\hbar\omega} NI$$

- ▶ využijeme obecný vztah pro saturační intenzitu záření v daném aktivním prostředí

$$I_s = \frac{\hbar\omega}{\kappa\sigma\tau_{21}}$$

- ▶ ... dostaneme

$$\frac{dN}{dt} = W - \frac{N}{\tau_{21}} - \frac{I}{I_s} \frac{N}{\tau_{21}}$$

- ▶ Pozor na čerpací rychlosť  $W = W(N)$ !

- V rovnovážném stavu při konstantním buzení  $W$  bude

$$\frac{dN_0}{dt} = 0 = W - \frac{N_0}{\tau_{21}} - \frac{I_0}{I_s} \frac{N_0}{\tau_{21}}$$

$$\frac{dI_0}{dt} = 0 = \mu c \sigma_{21} N_0 I_0 - \frac{I_0}{\tau_c}$$

- V rovnovážném stavu při konstantním buzení  $W$  bude

$$\frac{dN_0}{dt} = 0 = W - \frac{N_0}{\tau_{21}} - \frac{I_0}{I_s} \frac{N_0}{\tau_{21}}$$

$$\frac{dI_0}{dt} = 0 = \mu c \sigma_{21} N_0 I_0 - \frac{I_0}{\tau_c}$$

- Z rovnice pro inverzi dostaneme:

$$I_0 = \left( \frac{W \tau_{21}}{N_0} - 1 \right) I_s$$

- V rovnovážném stavu při konstantním buzení  $W$  bude

$$\frac{dN_0}{dt} = 0 = W - \frac{N_0}{\tau_{21}} - \frac{I_0}{I_s} \frac{N_0}{\tau_{21}}$$

$$\frac{dI_0}{dt} = 0 = \mu c \sigma_{21} N_0 I_0 - \frac{I_0}{\tau_c}$$

- Z rovnice pro inverzi dostaneme:

$$I_0 = \left( \frac{W \tau_{21}}{N_0} - 1 \right) I_s$$

- Aby byla ustálená hodnota  $I_0 > 0$ , musí čerpací rychlosť přesahovať určité minimum – práh:

$$W_0 = \frac{N_0}{\tau_{21}}, \quad \text{přitom z rovnice pro intenzitu } \Rightarrow N_0 = \text{const.} = \frac{1}{\tau_c \mu c \sigma_{21}}$$

# Stacionární řešení rychlostních rovnic

- V rovnovážném stavu při konstantním buzení  $W$  bude

$$\frac{dN_0}{dt} = 0 = W - \frac{N_0}{\tau_{21}} - \frac{I_0}{I_s} \frac{N_0}{\tau_{21}}$$

$$\frac{dI_0}{dt} = 0 = \mu c \sigma_{21} N_0 I_0 - \frac{I_0}{\tau_c}$$

- Z rovnice pro inverzi dostaneme:

$$I_0 = \left( \frac{W \tau_{21}}{N_0} - 1 \right) I_s$$

- Aby byla ustálená hodnota  $I_0 > 0$ , musí čerpací rychlosť přesahovať určité minimum – práh:

$$W_0 = \frac{N_0}{\tau_{21}}, \quad \text{přitom z rovnice pro intenzitu } \Rightarrow N_0 = \text{const.} = \frac{1}{\tau_c \mu c \sigma_{21}}$$

- Potom nad prahem generace ( $I_0 > 0$ ,  $W > W_0$ ):

$$I_0 = \left( \frac{W}{W_0} - 1 \right) I_s = (W - W_0) \frac{I_s}{W_0} \quad \text{a} \quad W_0 = \frac{1}{\tau_{21} \tau_c \mu c \sigma_{21}}$$

- V rovnovážném stavu při konstantním buzení  $W$  bude

$$\frac{dN_0}{dt} = 0 = W - \frac{N_0}{\tau_{21}} - \frac{I_0}{I_s} \frac{N_0}{\tau_{21}}$$

$$\frac{dI_0}{dt} = 0 = \mu c \sigma_{21} N_0 I_0 - \frac{I_0}{\tau_c}$$

- Z rovnice pro inverzi dostaneme:

$$I_0 = \left( \frac{W \tau_{21}}{N_0} - 1 \right) I_s$$

- Aby byla ustálená hodnota  $I_0 > 0$ , musí čerpací rychlosť přesahovať určité minimum – práh:

$$W_0 = \frac{N_0}{\tau_{21}}, \quad \text{přitom z rovnice pro intenzitu } \Rightarrow N_0 = \text{const.} = \frac{1}{\tau_c \mu c \sigma_{21}}$$

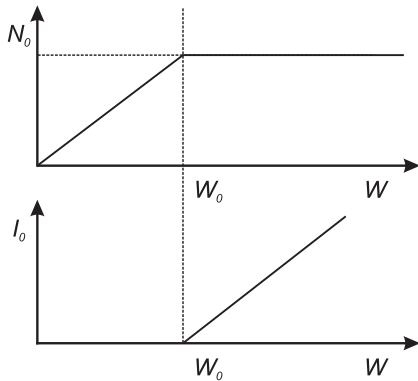
- Potom nad prahem generace ( $I_0 > 0, W > W_0$ ):

$$I_0 = \left( \frac{W}{W_0} - 1 \right) I_s = (W - W_0) \frac{I_s}{W_0} \quad \text{a} \quad W_0 = \frac{1}{\tau_{21} \tau_c \mu c \sigma_{21}}$$

- Pod prahem generace ( $I_0 = 0, W < W_0$ ) roste  $N_0$  s čerpáním:

$$N_0 = W \tau_{21}$$

# Stacionární řešení rychlostních rovnic



$$I_0 = \begin{cases} 0 & \text{pro } W \leq W_0 \\ I_s(W - W_0) / W_0 & \text{pro } W \geq W_0 \end{cases}$$

$$N_0 = \begin{cases} W\tau_{21} & \text{pro } W \leq W_0 \\ 1/\tau_c\sigma\mu c & \text{pro } W \geq W_0 \end{cases}$$

- ▶ Stacionární intenzita uvnitř rezonátoru

$$I_0 = \frac{I_s}{W_0} (W - W_0)$$

- ▶ Stacionární intenzita uvnitř rezonátoru

$$I_0 = \frac{I_s}{W_0} (W - W_0)$$

- ▶ V případě, že je zrcadlo málo propustné ( $R$  se blíží k 1), pak pro intenzitu generovaného laserového záření  $I_{out}$  platí:

$$I_{out} \doteq \frac{1-R}{2} I_0.$$

- ▶ Stacionární intenzita uvnitř rezonátoru

$$I_0 = \frac{I_s}{W_0} (W - W_0)$$

- ▶ V případě, že je zrcadlo málo propustné ( $R$  se blíží k 1), pak pro intenzitu generovaného laserového záření  $I_{out}$  platí:

$$I_{out} \doteq \frac{1-R}{2} I_0.$$

- ▶ Pro nízké hodnoty populace excitovaných hladin, kdy je rychlosť buzení jen nepatrně závislá na jejich obsazení, dostaneme lineární výstupní výkonovou charakteristiku laseru:

$$P_{out} \doteq \sigma_s (P_{in} - P_{th}),$$

# Výstupní charakteristika laseru v kontinuálním režimu

- ▶ Stacionární intenzita uvnitř rezonátoru

$$I_0 = \frac{I_s}{W_0} (W - W_0)$$

- ▶ V případě, že je zrcadlo málo propustné ( $R$  se blíží k 1), pak pro intenzitu generovaného laserového záření  $I_{out}$  platí:

$$I_{out} \doteq \frac{1-R}{2} I_0.$$

- ▶ Pro nízké hodnoty populace excitovaných hladin, kdy je rychlosť buzení jen nepatrně závislá na jejich obsazení, dostaneme lineární výstupní výkonovou charakteristiku laseru:

$$P_{out} \doteq \sigma_s (P_{in} - P_{th}),$$

- ▶  $P_{out}$ ,  $P_{in}$  a  $P_{th}$  je postupně výstupní výkon generovaného záření, výkon buzení a prahový výkon buzení a  $\sigma_s$  je tzv. diferenciální účinnost laseru, nebo také strmost výstupní charakteristiky.

- ▶ Šíření impulzů rezonančním prostředím v poloklasické approximaci

$$\begin{aligned}\frac{\partial \mathcal{E}}{\partial z'} &= \frac{\mu_0 \omega_{21} c}{2} \mathcal{P}_2 \\ \frac{\partial \mathcal{P}_2}{\partial t'} &= -\frac{\mathcal{P}_2}{T_2} - \frac{|d_{21}|^2}{\hbar} \mathcal{E} N \\ \frac{\partial N}{\partial t'} &= -\frac{N - N_0}{T_1} + \frac{1}{\hbar} \mathcal{E} \mathcal{P}_2\end{aligned}$$

- ▶ Šíření impulzů rezonančním prostředím v poloklasické approximaci

$$\begin{aligned}\frac{\partial \mathcal{E}}{\partial z'} &= \frac{\mu_0 \omega_{21} c}{2} \mathcal{P}_2 \\ \frac{\partial \mathcal{P}_2}{\partial t'} &= -\frac{\mathcal{P}_2}{T_2} - \frac{|d_{21}|^2}{\hbar} \mathcal{E} N \\ \frac{\partial N}{\partial t'} &= -\frac{N - N_0}{T_1} + \frac{1}{\hbar} \mathcal{E} \mathcal{P}_2\end{aligned}$$

- ▶ Rychlostní rovnice pro laser s krátkým rezonátorem

$$\frac{dN}{dt} = W - \frac{N}{\tau_{21}} - \frac{I}{I_s} \frac{N}{\tau_{21}}$$

$$\frac{dl}{dt} = \mu c \sigma_{21} N l - \frac{l}{\tau_c}$$

- ▶ Šíření impulzů rezonančním prostředím v poloklasické approximaci

$$\begin{aligned}\frac{\partial \mathcal{E}}{\partial z'} &= \frac{\mu_0 \omega_{21} c}{2} \mathcal{P}_2 \\ \frac{\partial \mathcal{P}_2}{\partial t'} &= -\frac{\mathcal{P}_2}{T_2} - \frac{|d_{21}|^2}{\hbar} \mathcal{E} N \\ \frac{\partial N}{\partial t'} &= -\frac{N - N_0}{T_1} + \frac{1}{\hbar} \mathcal{E} \mathcal{P}_2\end{aligned}$$

- ▶ Rychlostní rovnice pro laser s krátkým rezonátorem

$$\frac{dN}{dt} = W - \frac{N}{\tau_{21}} - \frac{I}{I_s} \frac{N}{\tau_{21}}$$

$$\frac{dI}{dt} = \mu c \sigma_{21} N I - \frac{I}{\tau_c}$$

- ▶ Stacionární řešení. Prahová podmínka. Výstupní výkonová charakteristika laseru.

$$P_{out} \doteq \sigma_s (P_{in} - P_{th}),$$

- ▶ Šíření impulzů rezonančním prostředím v poloklasické approximaci

$$\begin{aligned}\frac{\partial \mathcal{E}}{\partial z'} &= \frac{\mu_0 \omega_{21} c}{2} \mathcal{P}_2 \\ \frac{\partial \mathcal{P}_2}{\partial t'} &= -\frac{\mathcal{P}_2}{T_2} - \frac{|d_{21}|^2}{\hbar} \mathcal{E} N \\ \frac{\partial N}{\partial t'} &= -\frac{N - N_0}{T_1} + \frac{1}{\hbar} \mathcal{E} \mathcal{P}_2\end{aligned}$$

- ▶ Rychlostní rovnice pro laser s krátkým rezonátorem

$$\frac{dN}{dt} = W - \frac{N}{\tau_{21}} - \frac{I}{I_s} \frac{N}{\tau_{21}}$$

$$\frac{dI}{dt} = \mu c \sigma_{21} N I - \frac{I}{\tau_c}$$

- ▶ Stacionární řešení. Prahová podmínka. Výstupní výkonová charakteristika laseru.

$$P_{out} \doteq \sigma_s (P_{in} - P_{th}),$$

- ▶ Příště: Přechodové jevy v režimu volné generace. Metody generace nanosekundových impulsů. Q-spínání. Spínání ziskem

-  VRBOVÁ M., ŠULC J.: *Interakce rezonančního záření s látkou*, Skriptum FJFI ČVUT, Praha, 2006
-  LOUISELL, W. H.: *Quantum statistical properties of radiation*, John Wiley & Sons, New York, 1973
-  VRBOVÁ M. a kol.: *Lasery a moderní optika - Oborová encyklopédie*, Prometheus, Praha, 1994
-  VRBOVÁ M., JELÍNKOVÁ H., GAVRILOV P.: *Úvod do laserové techniky*, Skriptum FJFI ČVUT, Praha, 1994 <http://space.fjfi.cvut.cz/web/sulc/ulat/>
-  Přednášky: <http://space.fjfi.cvut.cz/web/sulc/FLA/>